

水工結構應力分析叢書之二

水工隧道

潘家鋒編著

科技卫生出版社

水工結構應力分析叢書之二

水 工 隧 洞

潘 家 錚 編 著

科 技 卫 生 出 版 社

內 容 提 要

本書中分析有壓無壓隧道襯砌在堅固及松軟岩層中的應力計算，分，隧道的工作條件，岩石的彈性抗力系數，單層多層襯砌在內水壓力下的計算，外水壓力及岩層應力，山石壓力及其他荷載，低拱型隧道襯砌，馬蹄形襯砌等章，附有實用算表，可供水工結構設計工程師等參考。

水工結構應力分析叢書之二

水 工 隧 洞

編著者 潘家鋒

*

科技衛生出版社出版

(上海南京西路2004號)

上海市書刊出版業營業許可證出003號

大眾文化印刷廠印刷 新華書店上海發行所總經售

*

統一書號：15119·958

書本850×1168 紙1/32·印張3 3/8·字數82,000

1958年10月第1版

1958年10月第1次印刷·印數1~4,000

定價：(10) 0.60
0.60 元

目 录

第一章	隧洞的工作条件	1
第二章	論岩石的彈性抗力系数 k	7
第三章	單层混凝土襯砌在內水压力下的計算	11
第四章	多层襯砌在內水压力下的計算	14
第五章	外水压力及岩层应力	30
第六章	山石压力及其他荷載的討論	34
第七章	山石压力及其他荷載所引起的应力的計算	44
第八章	低拱型隧洞襯砌的計算	60
第九章	馬蹄形襯砌的計算	71
参考文献		104

第一章 隧洞的工作条件

水工隧洞是最常用的引水建筑物之一，可以分为有压隧洞及无压隧洞两大类。有压隧洞断面多做成圆形，主要的荷载是内水压力。无压隧洞多做成马蹄形或其他形状。

水工隧洞常常设有衬砌，衬砌可用混凝土、钢筋混凝土、钢板喷浆层等做成，其主要作用为：

- (1) 承受山石压力，以免坍塌；
- (2) 承受内水压力；
- (3) 封闭岩石裂隙，以防止漏水，和免除水及空气的破坏作用；
- (4) 减少隧洞的糙率。

隧洞是一种地下结构，要精确地计算它的应力，是非常困难的。主要的问题是：我们目前尚无法精确地求出作用在隧洞衬砌上的全部力量。因为作用在衬砌上的力，有衬砌自重、内水压力、地下水压力、温度及收缩力、灌浆压力、地震力和基岩对衬砌的作用力等几类。其中自重及内水压力是可以较精确地确定的。地下水压力、温度及收缩力、灌浆压力、地震力等则常须假定一些数据（例如地下水位、温度变化、地震加速度等），然后可作近似计算。但是对于基岩和衬砌间的接触应力，则十分复杂，千变万化，很难确定。

基岩和衬砌间的作用力，有各种不同的名称，并且有各种不同的意义。例如，作用在衬砌顶部的力，我们常称为山石压力，其意义是指：当隧洞开挖后，岩石中原有的平衡状态被破坏，洞顶一部

分岩石有落下的趋势，因而压在襯砌頂部，产生“山石压力”。作用在两侧的力称为岩石侧压力，这也是两侧岩石施加在襯砌側壁上的主动压力。作用在底部的力称为岩石的底部压力。除此以外，尚有被动性質的岩石彈性抗力，这是指襯砌受力变形后，所引起的基岩彈性反力。这些基岩作用力的意义和求法，將在以后詳加討論。

基岩作用力和許多因素有关。它不但与基岩的岩性、力学性質、物理性質、地質条件、隧洞深度、隧洞尺寸和所受荷載等有关，而且和施工进度、施工方法都有关系。因此，我們不能希望找出一个簡單的公式来决定这种作用力。但是总的講来，我們可將基岩划分为两大类典型。第一类是坚固完整的岩石。在这类岩石中，开挖隧洞后，它基本上仍能維持稳定，不致发生大量崩坍倒毀的情况。因此，当襯砌完成后，它將不承受（或只承受极少的一部分）山石压力及山石侧压力。襯砌將主要承受內水压力，且当襯砌受內水压力作用而变形时，还会受到外面基岩的彈性抗力，后者是被动性質，能改善襯砌的工作条件。

绝大部分的水工隧洞，都是在坚固的岩石中开挖出来的。这些岩石的“似摩擦系数”或“牢固系数”都很大①，破坏拱很低小，开挖过程中基本上不必用襯砌，或只需略加支撑，这种都属于第一类情况。在这种情况下，設計和計算隧洞襯砌比較簡易，在有压隧洞中，一般只須計算內水压力的应力。例如隧洞規范 98 条中規定②：寬度在 6 公尺以內的有压隧洞襯砌，如岩石牢固系数 f 在 10 以上，可以仅計算其內水压力的作用。在这种岩石中建筑无压隧洞时，襯砌的强度几乎不必复算。当基岩情况的确良好时，甚至可以完全不用襯砌。这种实例，也不难找出。

① 牢固系数的定义等詳后第六章。

② 本書所称規范指苏联电站部 1950 年批准的水工建筑物技术規范及設計標準：水电站的水工隧洞（电力出版社有譯本）～書。

第二类情况则相反。隧道建筑在松软破碎的岩层中，甚至是在松散体(土基)中。这时，隧道内非进行襯砌不可，否则四周的岩石将是无法稳定的。而隧道顶部和两侧的山石压力乃成为襯砌最主要的荷载之一。有许多铁路或公路的隧道，是建筑在这种地区中的。至于水工隧道，则除非确实无法避免，一般不应选择在这种地区中。显然，这一种情况的计算，将较第一种情况为复杂。

本书中对两种情况下的襯砌计算都将加以叙述。在第二章到第四章中，我们主要讨论第一种情况，即位于坚硬基岩中和承受内水压力的圆形隧道襯砌。在第六章到第八章中，我们将分别讨论其他型式的荷载和隧道的计算。

我们将从最简单的情况讨论起，即是位于坚硬基岩中的圆形襯砌，承受均匀的内水压力。既然基岩是新鲜完整的，则可以作为连续的均匀的弹性介质来处理。因此，我们的问题便转化成为计算承受均匀内水压力而且位于均匀弹性介质中的圆管应力。这时圆管内部承受内水压力，外部必定受到一定的基岩弹性抗力，计算中不计入弹性抗力作用，显然是不合理和不经济的。

我们首先来解释一下弹性抗力的意义。

各种荷载作用在襯砌上，将使襯砌发生变形，当襯砌向岩石变形时，一定遭遇到岩石的抵抗，即岩石发生一定的弹性抗力，必须先确定这些弹性抗力，始能进行襯砌的静力计算，这是计算隧道襯砌及任何地下结构的特点之一。

规范 86 条中指出，如襯砌发生离开基岩的变位时，则对岩石弹性抗力可以不加计算，但当襯砌发生向基岩的变位时，则应考虑其弹性抗力，抗力的大小，按下列假定分布：

$$p = ky \quad (1)$$

式中的 k 称为基岩的弹性抗力系数， y 为与襯砌表面正交的移位。

根据弹性力学理论，容易证实，只有当基岩中开挖了圆形的孔口、并在孔缘作用均匀的(轴对称的)压力时，上式始能成立；否则，

上式只为一近似公式。因此，根据式(1)导出的各种计算公式，只有在圆形断面受均匀压力作用时才为理论上准确的答案，此外都是近似的。当隧洞断面不是圆形或压力非轴对称时的精确计算方法，理论上可用弹性力学和结构力学原理及形变相容条件计算出来，但是根据这个原理推导的可以供实用的计算方法，却还没有研究出来。

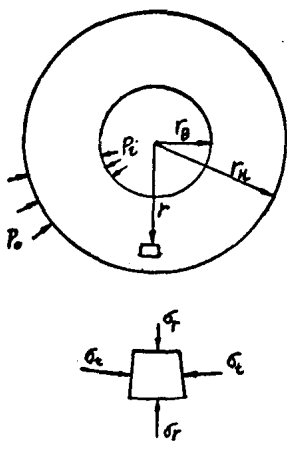


图 1

下面我们将根据弹性理论和建筑力学的公式进行砌筑的计算，应用得最多的是弹性力学中的厚管公式，在这里我们先予以导证，以供下文采用。

图 1 中表示一个厚的圆筒，内径为 r_i ，外径为 r_o ，承受均匀的内压力 p_i ，外压力 p_o ，在极坐标为 r 处取出一块微分元素体出来，其上有切向应力（剪应力） σ_t 、径向应力 σ_r 及垂直纸面方向的应力 σ_z 作用。由于对称关系，各剪应力 τ

均为 0。将各应力投影到半径向上，则由平衡条件可写下：

$$\sigma_r \cdot r d\varphi + \sigma_t dr d\varphi - (\sigma_r + \frac{d\sigma_r}{dr} dr)(r + dr) d\varphi = 0$$

或忽略了高阶微量后，可得

$$\sigma_r - \sigma_r - r \frac{d\sigma_r}{dr} = 0 \quad (2)$$

上式中含有两个未知值 σ_r 及 σ_t ，但两者之间存在着一定关系（变形相容关系）。例如令 u 代表各点的径向变形，则该元素体的径向单位应变

$$\epsilon_r = \frac{du}{dr}$$

切向单位应变

$$\epsilon_t = \frac{u}{r}$$

由广义虎克定律：

$$\left. \begin{aligned} \sigma_r &= \frac{\mu E}{(1+\mu)(1-2\mu)} \left(\frac{du}{dr} + \frac{u}{r} \right) + \frac{E}{1+\mu} \frac{du}{dr} \\ \sigma_t &= \frac{\mu E}{(1+\mu)(1-2\mu)} \left(\frac{du}{dr} + \frac{u}{r} \right) + \frac{E}{1+\mu} \frac{u}{r} \end{aligned} \right\} \quad (3)$$

将以上两式代入式(2), 得到 u 的方程式

$$\frac{d^2 u}{dr^2} + \frac{1}{r} \frac{du}{dr} - \frac{u}{r^2} = 0 \quad (4)$$

其解答为

$$u = C_1 r + \frac{C_2}{r} \quad (5)$$

代入应力公式

$$\left. \begin{aligned} \sigma_r &= 2A + \frac{B}{r^2} \\ \sigma_t &= 2A - \frac{B}{r^2} \\ \sigma_\theta &= \mu(\sigma_r + \sigma_\theta) = 4\mu A \end{aligned} \right\} \quad (6)$$

式中 $2A$ 代表 $\frac{EC_1}{(1+\mu)(1-2\mu)}$, B 代表 $\frac{-EC_2}{(1+\mu)}$ 。

其边界条件为：

$$r = r_s, \quad \sigma_r = -p_i$$

$$r = r_\infty, \quad \sigma_r = -p_0$$

根据这两条件, 即可求得

$$\left. \begin{aligned} 2A &= \frac{r_s^2 p_i - r_\infty^2 p_0}{r_\infty^2 - r_s^2} = \frac{p_i - t^2 p_0}{t^2 - 1} \\ B &= (p_0 - p_i) \frac{r_s^2 r_\infty^2}{r_\infty^2 - r_s^2} = (p_0 - p_i) \frac{r_\infty^2}{t^2 - 1} \end{aligned} \right\} \quad (7)$$

式中

$$t = \frac{r_\infty}{r_s} \quad (8)$$

于是各应力值为

$$\sigma_r = -\frac{\frac{2}{\mu} p_i - r_n^2 p_0}{r_n^2 - r_s^2} - (p_i - p_0) \frac{r_n^2 r_s^2}{r^2(r_n^2 - r_s^2)} = \\ = \frac{p_i - t^2 p_0}{t^2 - 1} - (p_i - p_0) \frac{r_n^2}{r^2(t^2 - 1)} \quad (9)$$

$$\sigma_t = \frac{r_n^2 p_i - r_n^2 p_0}{r_n^2 - r_s^2} + (p_i - p_0) \frac{r_n^2 r_s^2}{r^2(r_n^2 - r_s^2)} = \\ = \frac{p_i - t^2 p_0}{t^2 - 1} + (p_i - p_0) \frac{r_n^2}{r^2(t^2 - 1)} \quad (10)$$

$$\sigma_z = \frac{2\mu(r_n^2 p_i - r_n^2 p_0)}{r_n^2 - r_s^2} = \frac{2\mu(p_i - t^2 p_0)}{t^2 - 1} \quad (11)$$

上列三式也可以写成：

$$\sigma_r = \frac{r^2 - r_n^2}{r^2(t^2 - 1)} p_i - \frac{r^2 t^2 - r_n^2}{r^2(t^2 - 1)} p_0 \quad (12)$$

$$\sigma_t = \frac{r^2 + r_n^2}{r^2(t^2 - 1)} p_i - \frac{t^2 r^2 + r_n^2}{r^2(t^2 - 1)} p_0 \quad (13)$$

$$\sigma_z = \frac{2\mu}{t^2 - 1} \cdot p_i - \frac{2\mu t^2}{t^2 - 1} \cdot p_0 \quad (14)$$

而变位 u 的方程式为

$$u = C_1 r + \frac{C_2}{r} = \frac{(1+\mu)(1-2\mu)}{E} 2Ar - \frac{1+\mu}{E} \frac{B}{r} = \\ = \frac{(1+\mu)(1-2\mu)}{E} \frac{(p_i - t^2 p_0)r}{(t^2 - 1)} - \frac{(1+\mu)}{E} \frac{(p_0 - p_i)r_n^2}{(t^2 - 1)r} = \\ = \frac{1+\mu}{E} \left[\frac{(1-2\mu)r^2 + r_n^2}{r(t^2 - 1)} p_i - \frac{r_n^2 + (1-2\mu)t^2 r^2}{r(t^2 - 1)} p_0 \right] \quad (15)$$

以上所述，均是指平面变形的問題而言（隧洞襯砌屬此情況），对平面应力情况，应力公式是一样的，但变形公式 (15) 則略有不同。

第二章 論岩石的彈性抗力系数 k

在計算隧道襯砌時，如須考慮岩石彈性抗力，則必須應用基岩和襯砌變形的相容條件。在能夠應用相容條件之前，我們必須先確定基岩的變形特性常數，這個常數在水工結構中以系數 k 出現。

基岩彈性抗力系數 k 的定義如下：如果在基岩孔中作用一均勻的內水壓力 p_0 ，而使基岩孔的半徑增長一單位長度，這時所需的壓力強度 p_0 即為基岩的 k 。即

$$k = \frac{p}{y} [\text{公斤}/\text{公分}^3]$$

k 的數值，最好通過工地試驗求出，隧道規範 88 條中規定，對於一、二級隧道的 k ，應在試驗段上測定，三、四級隧道以及各級隧道在初步設計中所用的 k 值，可按經驗估計。

k 的數值，隨隧道四周岩石情況而變。倘隧道位置深度小於三個直徑長度時， k 值為安全計一般已不能考慮了 ($k=0$)；因為這時隧道上面的基岩可能已炸裂直至地面，岩石所起的抗力作用沒有保證。反之，若隧道位置深度很深，襯砌就可按照無限彈性體中的厚壁圓管進行計算（規範 92 條）。

設我們把基岩視為一無窮厚的圓筒，在內部作用均勻水壓力 p ，則其在內徑處的相應變形可用式(15)計算：

$$\begin{aligned} y &= \frac{1+\mu_0}{E_0} \left[\frac{(1-2\mu_0)r_s^2 + r_n^2}{r_s(t^2-1)} \right] p = \frac{1+\mu_0}{E_0} \frac{\frac{(1-2\mu_0)r_s^2}{r_n^2} + 1}{r_s \left(\frac{1}{r_s^2} - \frac{1}{r_n^2} \right)} p = \\ &= \frac{1+\mu_0}{E_0} \frac{\frac{(1-2\mu_0) \times 0 + 1}{1} - 0}{r_s} p = \frac{(1+\mu_0)r_s}{E_0} p \end{aligned} \quad (16)$$

式中 E_0 及 μ_0 指基岩的弹性模量及泊松比, r_s 指开挖半径(相当于砌筑的外径)。

根据抗力系数 k 的定义, 得

$$k = \frac{E_0}{r_s(1 + \mu_0)} \quad (17)$$

但是根据实测的 k 值、和实测的 E_0 及 μ_0 值来看, 它们并不符

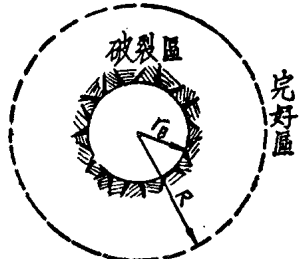


图 2

合上式。实测的 k 比计算得出的 k 要小得很多。这原因是: 测定岩石的 E_0 时, 是采取一块完整良好的基岩来试验的, 而在开挖后的隧道基岩体中, 存在着许多天然节理、裂隙和人工爆炸所生裂缝, 特别以孔口附近处更厉害;

而这些区域中的连续性对于 k 的影响恰又特别重要。钱令希教授假定隧道外围有一个环形开裂区, 厚度为 $R - r_s$, 在半径 R 以外的地区可视为完好, 而裂缝区内只能依靠径向抗压能力传递压力, 不能起轴拉力作用。这样, 在裂缝区内的总压缩值为

$$\Delta_{R-r_s} = \int_{r_s}^R \frac{p_0 r_s}{E_0 r} dr = \frac{p_0 r_s}{E_0} \ln \frac{R}{r_s} \quad (18)$$

在完好区内的半径增量为

$$\Delta_{R-\infty} = \frac{-R(1 + \mu_0)}{E_0} \cdot \frac{p_0 r_s}{R} \quad (19)$$

故在 $r = r_s$ 处的半径增量为

$$y = -\frac{p_0 r_s}{E_0} \left(1 + \mu_0 + \ln \frac{R}{r_s} \right) \quad (20)$$

而按定义

$$k = \frac{E_0}{r_s(1 + \mu_0 + \ln \frac{R}{r_s})} \quad (21)$$

錢令希教授再根据 Шварценъ, Амстер 等隧道的实测资料代入得到这样的初步结论:对于坚固少缝的岩石,可取 $\frac{R}{r_s} = 3$, 对于页岩之类松软的岩石可取 $\frac{R}{r_s} = 300$ 。最有趣的是坚岩中 $\frac{R}{r_s} = 3$, 和隧道规范中规定隧道中心深度须大于 3 倍直径时才可考虑弹性抗力很相符。

此外我们常注意 k 值和开挖半径 r_s 成反比。因此, 不规定 r_s 、仅提出某类岩石的 k 值是不合理的。平常以 k_0 表示 $r_s=1$ 公尺时的抗力系数, 则

$$k = \frac{k_0}{r_s} \quad (22)$$

最后, 我们列下一些从教科书和文献中关于 k 、 E_0 、 μ_0 的资料如下:

(1) 葛立兴教授在水工结构教本中, 建议采用下列 k_0 值,

紧实粘土、泥灰岩 $k_0 = 10 \sim 50$ 公斤/公分²

半岩石 $k_0 = 50 \sim 500$ 公斤/公分²

岩石 $k_0 = 500 \sim 4000$ 公斤/公分²

(2) 在 Волков 的“隧道”一书中, 及“Технический Справочник Железнодорожника, том. 4, 1951”书中给出各种岩石的 E_0 及 μ_0 值。

表 1

砂 质 粘 土	$\mu_0 = 0.3 \sim 0.37$
粘 性 土	$0.36 \sim 0.39$
重 粘 土	0.40
石 灰 岩	$0.25 \sim 0.33$
粘 质 泥 灰 岩	$0.29 \sim 0.38$
砂 岩	$0.29 \sim 0.30$
粘 质 页 岩	0.30
页 岩	$0.15 \sim 0.20$
辉 绿 岩	0.28

表 2

土壤或岩石种类	E_0 (公斤/公分 ²)
自然状态的浮土层	145~511
细砂(河底)	370~540
黄色沉积粘土	195~7300
粘土	1000~10,000
粘质泥灰岩	3000~83,000
砂岩	100,000~278,000
砂质页岩	198,000~360,000
粘质页岩	256,000~550,000
灰岩	440,000~1,470,000
玄武岩	430,000~1,063,000
砂岩	466,000~543,000
花岗岩	543,000~690,000
云斑岩	656,000~700,000
辉绿岩	667,000~787,000

(3) 同书中, 给出下列 k 值, 这些 k 值与半径无关, 因此不甚适用于隧道计算中:

表 3

土壤范围	k (公斤/公分 ³)
松土、浮砂、新填砂、很湿软粘土	0.1~0.5
中实土、压实砂、填砾石、潮湿粘土	0.5~5.0
实土、紧实砂、紧填砾石、微湿粘土	5~10
很实土、人工紧实砂质粘土、硬粘土	10~20
固性土、软有裂隙的岩石、石灰岩、砂岩、冻土	20~100
固性土、良好坚岩	100~1500

(4) J. Muhlkofer 所介绍的数字 (这些数字也与 r 无关, 不甚适用)。

最坚实的岩石 $k=1,500$

坚岩 $k=500$

软、有裂隙的岩石 $k=100$

(5) 实测资料

在 Шварценъ 隧洞 (坚固花岗岩) $k=1,330$

在 Амстердам 隧洞 (黑云母片麻岩) $k=1,600$

在 Амстердам 隧洞 (绢云母页岩) $k=150$ (平均)

第三章 單層混凝土襯砌在 內水壓力下的計算

图3中示一标准的單層混凝土襯砌，与外面的基岩相固接。基岩的彈性抗力系数为 k 。襯砌的内徑为 r_s ，外徑为 r_n ，混凝土的彈性模量为 E ，泊松比为 μ ，又令 $t = \frac{r_n}{r_s}$ ，及 r 代表襯砌中任意一点离开中心的距离。

当襯砌在均匀內水压力 p 作用下，將膨脹变形，因此受到基岩彈性抗力 p_0 的作用。由上章，襯砌在 p 及 p_0 作用下，任何一点 r 处的徑向变形为

$$y = \frac{1+\mu}{E} \left[\frac{(1-2\mu)r^2 + r_n^2}{r(t^2-1)} p - \frac{t^2(1-2\mu)r^2 + r_n^2}{r(t^2-1)} p_0 \right] \quad (15')$$

特別在外半徑处，以 $r=r_n$ 代入上式得

$$\begin{aligned} y_{r=r_n} &= \frac{2r_n}{E} \frac{(1+\mu)(1-\mu)}{t^2-1} p - \\ &- \frac{r_n}{E} \frac{(1+\mu)[t^2(1-2\mu)+1]}{t^2-1} p_0 \end{aligned} \quad (23)$$

又基岩受到均匀压力 p_0 的作用，將发生变形

$$y_{r=r_n} = \frac{p_0}{k} \quad (24)$$

由相容条件，可得

$$p_0 \left[\frac{1}{k} + \frac{r_n}{E} \frac{(1+\mu)[t^2(1-2\mu)+1]}{t^2-1} \right] = \frac{2r_n}{E} \frac{(1+\mu)(1-\mu)}{t^2-1} p \quad (25)$$

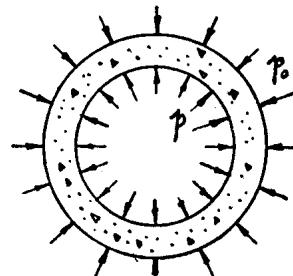


图3

于是

$$\begin{aligned} p_0 &= \frac{2(1+\mu)(1-\mu)kr_n}{E(t^2-1)+kr_n(1+\mu)[t^2(1-2\mu)+1]} = \\ &= \frac{2N(1-\mu)}{(t^2-1)+N[t^2(1-2\mu)+1]} \end{aligned} \quad (26)$$

上式中，

$$N = \frac{kr_n(1+\mu)}{E} \quad (27)$$

既然求出 p_0 ，便可代入厚管公式求任何一点的应力。

$$\begin{aligned} \sigma_r &= \left[\frac{r^2 - r_n^2}{r^2(t^2-1)} - \frac{t^2 r^2 - r_n^2}{(t^2-1)r^2} \frac{2N(1-\mu)}{(t^2-1)+N[t^2(1-2\mu)+1]} \right] p = \\ &= \frac{1}{r^2(t^2-1)} \left[\frac{(r^2 - r_n^2) \{ N[t^2(1-2\mu)+1] + (t^2-1) \} - (t^2 r^2 - r_n^2)(2N(1-\mu))}{N[t^2(1-2\mu)+1] + (t^2-1)} \right] = \\ &\quad \left(1 - \frac{r_n^2}{r^2} \right) \{ N[t^2(1-2\mu)+1] + (t^2-1) \} - \\ &= \frac{1}{t^2-1} \left[\frac{- \left(t^2 - \frac{r_n^2}{r^2} \right) (2N(1-\mu))}{N[t^2(1-2\mu)+1] + (t^2-1)} \right] = \\ &\quad N[t^2(1-2\mu)+1] + (t^2-1) - t^2 \cdot 2N(1-\mu) - \\ &= \frac{1}{t^2-1} \left[\frac{- \frac{r_n^2}{r^2} \{ N[t^2(1-2\mu)+1] + t^2-1 - 2N(1-\mu) \}}{N[t^2(1-2\mu)+1] + (t^2-1)} \right] = \\ &\quad \frac{(t^2-1) - N(t^2-1) - \frac{r_n^2}{r^2} \{ (t^2-1) + N(t^2-1) - 2\mu N(t^2-1) \}}{N[t^2(1-2\mu)+1] + (t^2-1)} = \\ &= \frac{1-N - \frac{r_n^2}{r^2} [1+N(1-2\mu)]}{N[t^2(1-2\mu)+1] + (t^2-1)} p \text{ (压力)} \end{aligned} \quad (28)$$

同样我們可以求出圈張力 σ_t

$$\sigma_t = \left[\frac{r^2 + r_n^2}{r^2(t^2-1)} - \frac{t^2 r^2 + r_n^2}{(t^2-1)r^2} \frac{2N(1-\mu)}{(t^2-1)+N[t^2(1-2\mu)+1]} \right] p =$$

$$= \frac{1 - N + \frac{r^2}{\mu^2} [1 + N(1 - 2\mu)]}{N[t^2(1 - 2\mu) + 1] + (t^2 - 1)} P \text{ (拉力)} \quad (29)$$

由于我們的問題是屬於平面變形情況，因此還有一個 σ_s ：

$$\sigma_s = \mu(\sigma_r + \sigma_t) = \frac{2(1 - N)\mu}{t^2 - 1 + N[t^2(1 - 2\mu) + 1]} \text{ (拉力)} \quad (30)$$

這些公式是蘇聯彈性力學大師 Б. Г. Галеркин 院士在 1929 年導出的（見鋼管試驗研究所論文集，№. 100，1929 年）。其中式 (29) 就是隧洞規範中附錄 (3) 中的式 (1)。

Б. Г. Галеркин 的公式，應該認為是準確的。如果內水壓力很大，而且基岩的 k 比較小時，混凝土襯砌可能受拉開裂，這時混凝土完全承受徑向壓力 $\frac{Pr_s}{r}$ ，如果不允許發生這種情況，就必須加厚襯砌或配置鋼筋。